

信州大学工学部 正員 泉谷恭男

## 1. シミュレーションモデルとモデルパラメーター

ホワイトノイズによる地震動のシミュレーションから始めて、地震動の振幅のみならず周波数成分の非定常性までも表現し得るシミュレーションモデルが数多く提出されてきた。従来、これらの研究では、サンプルとして用いた強震記録の特性をよく再現し得るか否かに注目してモデルの改良に尽力されてきた。後藤ほか<sup>1)</sup>はこれら個々の地震動の諸特性をよく再現するシミュレーションモデルの設定を地震動予測モデルのための「第一段階の作業」と呼び、更に、非定常スペクトルをいくつかのモデルパラメーターで表現し、モデルパラメーターとマグニチュードや震央距離などとの関係を求め、将来の地震動の予測モデルを作成するという「第二段階の作業」について論じている。

一般に、特定の地震波の再現（第一段階の作業）のためににはモデルパラメーターの数を多くして方が有利である。しかし、第二段階の作業においてはかえって不利な場合もある。例えば、マグニチュード（M）や震央距離（Δ）などに対する統計処理の際に、ある一つのパラメーター（P）についての回帰式  $P = f(M, \Delta, \dots) + \epsilon$  の分散のが大きくなってしまうれば、シミュレーションモデルが如何に優れていてもそのパラメーターを用いて得られた予測地震動は信頼度の低いものになってしまふ。それ故、「良質のモデルパラメーター」を選ぶ必要が生じる。即ち、それらのモデルパラメーターによって特定の地震動を再現してみると十分満足でき、かつ、統計処理の際にどのパラメーターに対しても分散が十分小さく、ヒューリスティックパラメーターである。しかしながら、これには非常に困難が伴うであろうことが予想される。

## 2. 研究目的

本研究の目的は近地強震動の非定常シミュレーションモデルを作成し、その再現性を調べることにある。つまり後藤ほか<sup>1)</sup>の言う第一段階の作業である。シミュレーションモデルにはショットノイズ過程を応用し、モデルパラメーターとしては狭帯域のフィルターを通した地震動の強震動開始時刻、強震動継続時間、全パワーを選んだ。これらのモデルパラメーターは Trifunac and Westerner<sup>2)</sup>により地震動の強度（震度）と関係が深いとされていいるパラメーターを用いたわけであり、先に述べたような「良質のパラメーター」と断定していいわけではない。

最近、地震学の分野で、平沢<sup>3)</sup>のように地震波の短周期成分の強度を説明する震源モデルとしてショットノイズ過程を応用した研究が見られる。震源から射出されたパルス列が伝播経路や地盤で通過する際に振幅変化、継続時間の増大やフィルタ作用を受け、最終的に観測された波形になるとを考えることは概念的にも非常に理解し易い。本研究でシミュレーションモデルにショットノイズ過程を応用したのは、近い将来に「第二段階の作業」において地震学における研究成果（震源理論や波動伝播理論）を取り入れた場合の扱い易さを考慮したためである。それらの導入が良質のモデルパラメーターを探る上で助けになるものと予想していることである。

## 3. ショットノイズ型シミュレーションモデル

サンプル地震動として松代強震記録<sup>4)</sup>の水平動44成分を用いた。震央距離はほとんど10km以内、マグニチュードは4.2～5.1である。強震記録  $x(t)$  を12個の狭帯域フィルタ  $h_i(t)$  に通した。

$$y_i(t) = x(t) * h_i(t) \quad ; \quad i = 1, \dots, 12$$

フィルタは一質点系の速度応答型で減衰定数  $h = 0.1$ 、12個の中心周波数  $\omega_i$  は対数軸上で等間隔にとった。 $(\omega_i = 0.23f_c, f_c = 13.0 \text{ Hz})$

$$H_i(\omega) = 2hu / \sqrt{(1-u^2)^2 + 4h^2u^2} \quad ; \quad u = \omega/\omega_i, \quad \omega_i = 2\pi f_c$$

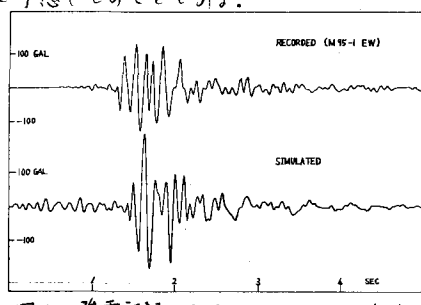


図1. 強震記録とシミュレーション波形

更に、次式で定義された  $\alpha_i$  及び  $F_i(t)$  を求めた。

$$\alpha_i = \int_0^T y_i^2(t) dt$$

$$F_i(t) = \int_0^t y_i^2(t) dt / \alpha_i$$

T: 記録長さ

モデルパラメータとして採用したのは  $F_i(t) = 0.05$  となる時刻  $t_i$ 、 $F_i(t)$  が  $0.05 \sim 0.95$  まで増加する時間  $\Delta_i$  及び  $\alpha_i$  である。次に  $F_i(t)$  を形状の似た関数

$$G_i(t) = \begin{cases} 0.05 t / t_i & ; 0 \leq t < t_i \\ 1 - \{2\alpha_i(t-b_i)^2 + 2\alpha_i(t-b_i) + 1\} e^{-2\alpha_i(t-b_i)} & ; t_i \leq t \end{cases}$$

で近似し、 $t_i$ 、係数  $\alpha_i$ 、 $b_i$  は  $G_i(t)$  が 2 点  $(t_i, 0.05)$ 、 $(t_i + \Delta_i, 0.95)$  を通るよう定めた。

さて、シミュレーション波形を得るためにまず、定常到着率入力でボアソン到着するパルス列  $Z_i(t)$  を発生させる。パルスの振幅は平均値 0、分散 1 のガウス分布に従う乱数列として与える。これにフィルタ  $h_i(t)$  をかけ、更に、形状関数  $\psi_i(t)$  を乗す。

$$\tilde{y}_i(t) = \psi_i(t) \cdot \{ Z_i(t) * h_i(t) \}$$

$$y_i(t) = \left\{ \frac{\alpha_i}{\lambda_i \cdot \frac{1}{2\pi} \int_0^\infty |H_i(\omega)|^2 d\omega} \cdot G_i'(t) \right\}^{\frac{1}{2}}$$

1/2個の  $\tilde{y}_i(t)$  を加え合せてのりフィルタの総合特性

$$H(\omega) = \{ H_1(\omega) + \dots + H_{12}(\omega) \}$$

により補正したものもシミュレーション波  $\tilde{x}(t)$  とした。

#### 4. 再現性

再現性についての検討は次の各項目について行った。

- (1). 見かけの波形 (図 1),
- (2). ランニングスペクトル (図 2),
- (3). 最大加速度 (表 1),
- (4). 全パワー (表 1), (5).  $\alpha_i$  (図 3),
- (6).  $\psi_i$  (図 4), (7). 速度応答スペクトル (図 5).

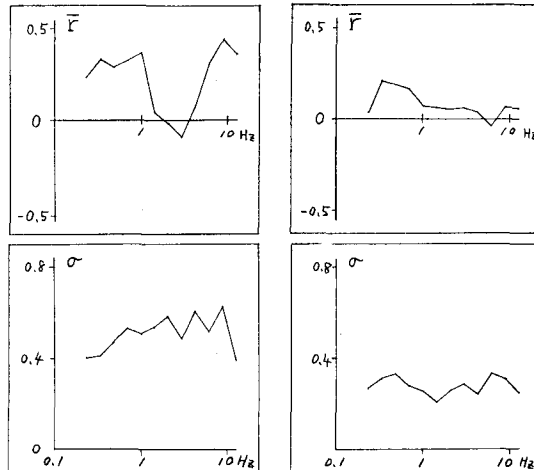


図 2. ランニングスペクトルの再現性

見かけの波形、ランニングスペクトル以外は各成分のシミュレーション波につれて、後藤ほか<sup>2)</sup>の定義に従い、シミュレーション誤差

$$\sigma = \ln(A_s/A_r) ; \begin{cases} A_s : \text{シミュレーション波に関する値} \\ A_r : \text{観測波に関する値} \end{cases}$$

の平均値、標準偏差によて示されている。

波形、ランニングスペクトルとも見て目によく似ており、シミュレーション誤差の平均値はかなり小さく、また標準偏差も比較的小さく、ほぼ満足できる再現性を有するシミュレーションモデルであると言えよう。

#### 参考文献

- 1). 後藤・亀田・杉戸：土木学会論文報告集, 286, pp. 37-51, 1979.
- 2). Trifunac and Westermo : Bull. Seism. Soc. Amer., 67, pp. 917-927, 1977.
- 3). 平沢：自然災害科学特別研究成果報告, A-54-3, pp. 35-45, 1979.
- 4). 東京大学地震観測所強震計観測センター：強震観測資料第1号, 1976.

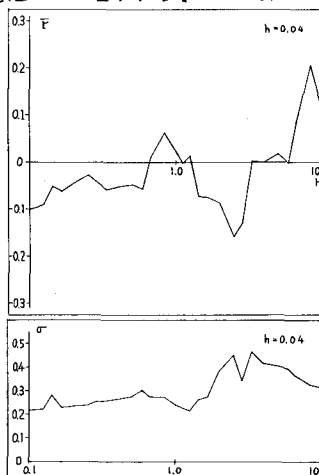


図 4.  $\alpha_i$  の再現性